

STATICKÝ VÝPOČET

NOSNÝCH KONSTRUKCÍ

VESTAVBA VÝTAHU VE VÝTAHOVÉ ŠACHTĚ

DO ZRCADLA SCHODIŠTĚ BYTOVÉHO DOMU

Lidická 698/15, 602 00 Brno, k.ú. Veveří, p.č. 1448

Stavba : VESTAVBA VÝTAHU VE VÝTAHOVÉ ŠACHTĚ
DO ZRCADLA SCHODIŠTĚ BYTOVÉHO DOMU

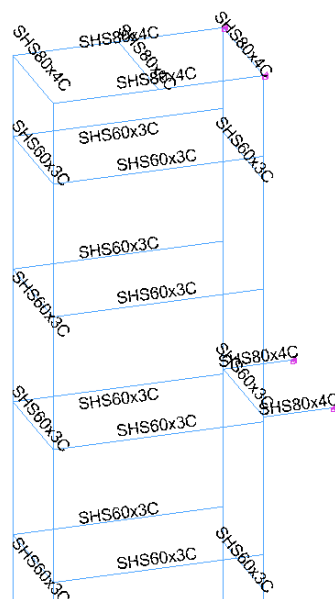
Lidická 698/15, 602 00 Brno, k.ú. Veveří, p.č. 1448

Část : Stavebně konstrukční část

Stupeň : DSP

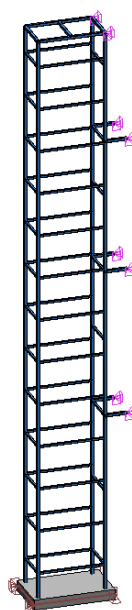
Investor : Statutární město Brno, MČ Brno střed, Dominikánské nám.1, Brno-město,
602 00 Brno

Porced UŽIVATEL
1.25 m 0.24 m 13.40 m

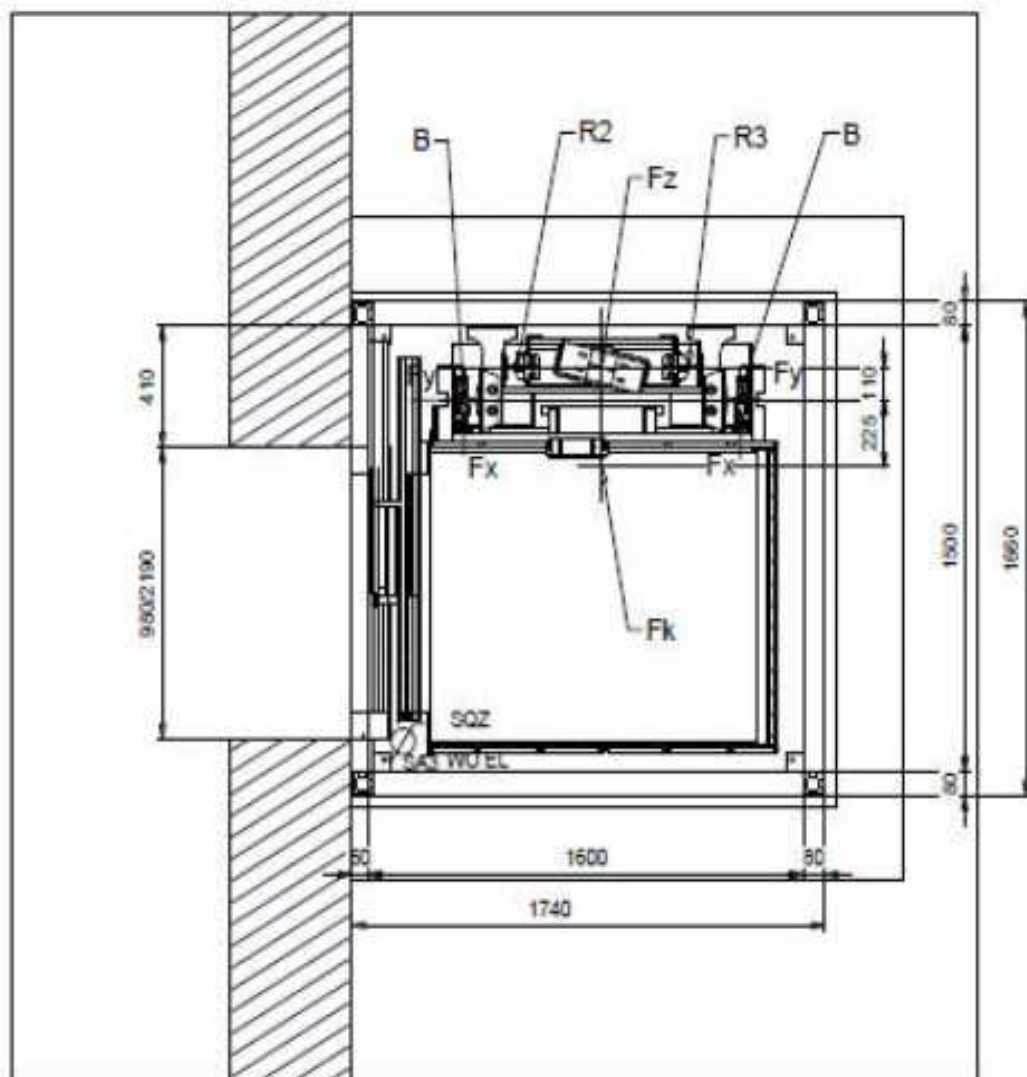


1 Průřezy

Porced UŽIVATEL
1.25 m 0.24 m 13.40 m



2 Pohled na Model



| ZATÍŽENÍ OD VÝT. ČÁSTI | | |
|------------------------|-------------|----------------|
| | Svislé síly | Vodorovné síly |
| R2 | 11 750 N | — |
| R3 | 11 750 N | — |
| | | |
| B | 14 800 N | — |
| Fk | 55 000 N | — |
| Fz | 41 800 N | — |
| Fx | — | 3 400 N |
| Fy | — | 1 600 N |

Zatížení svislými silami přebírá železobetonová dojezdová šachta, za

Šachta bude oplášťena bezpečnostním sklem 25kg/m2

Hlavní charakteristiky modelu

| Hlavní charakteristiky modelu | |
|-------------------------------|---------|
| Pracovní prostor | Prostor |
| Ohybově tuhá konstrukce | Ano |
| Číslo uzlů | 841 |
| Počet lineárních prvků | 66 |
| Počet plošných prvků | 1 |
| Počet bodových podpor | 8 |
| Počet lineárních podpor | 0 |
| Počet plošných podpor | 1 |
| Počet zatěžovacích stavů | 2 |
| Počet kombinací | 10 |

| Geometrie modelu | | | |
|-----------------------------|-------------------|------------|-------------|
| Největší rozměry konstrukce | X = 1.43 m | Y = 2.72 m | Z = 16.62 m |
| Těžiště | X = 0.71 m | Y = 1.17 m | Z = 2.65 m |
| Celková hmotnost | 3638.81 kg | | |

Popis materiálů

| Izotropní materiály | | | | | | |
|---------------------|--|----------------------------------|----------------------------|---|--|---------|
| Označení | Modul pružnosti v tahu a tlaku E (MPa) | Modul pružnosti ve smyku G (MPa) | Poissonova konstanta ν | Objemová hmotnost ρ (kg/m ³) | Součinitel tepelné roztažnosti α (1/°C) | Útlum % |
| C25/30 | 3.15e+004 | 1.31e+004 | 0.20 | 2500.00 | 1.00e-005 | 4.00 |
| S235 | 2.10e+005 | 8.08e+004 | 0.30 | 7850.00 | 1.20e-005 | 4.00 |

| Ortotropní materiály | | | | | | |
|----------------------|---|--|---|---|---|---------|
| Označení | Modul pružnosti v tahu a tlaku E1 (MPa) E2 (MPa) | Modul pružnosti ve smyku G1z (MPa) G2z (MPa) G12 (MPa) | Poissonova konstanta ν_{12} ν_{13} | Objemová hmotnost ρ (kg/m ³) | Součinitel tepelné roztažnosti α_1 (1/°C) α_2 (1/°C) | Útlum % |
| | | | | | | |

| Materiál - ocel: S235 | | |
|-----------------------|--------|--------|
| t(cm) | 4.00 | 8.00 |
| f_y (MPa) | 235.00 | 215.00 |
| f_u (MPa) | 360.00 | 360.00 |

| Materiály - beton | | | | |
|-------------------|-----------------------|------------------------|------------------------|-------|
| Označení | F _{ck} (MPa) | F _{yk1} (MPa) | F _{yk2} (MPa) | eiev |
| C25/30 | 25.00 | 500.00 | 500.00 | 3.000 |

| Popis lineárních prvků podle materiálů | |
|--|----------------------------|
| Materiál | Prvky |
| S235 | 1-11; 14-16; 18-20; 22-70; |

| Popis plošných prvků podle materiálů | |
|--------------------------------------|-------|
| Materiál | Prvky |
| C25/30 | 1; |

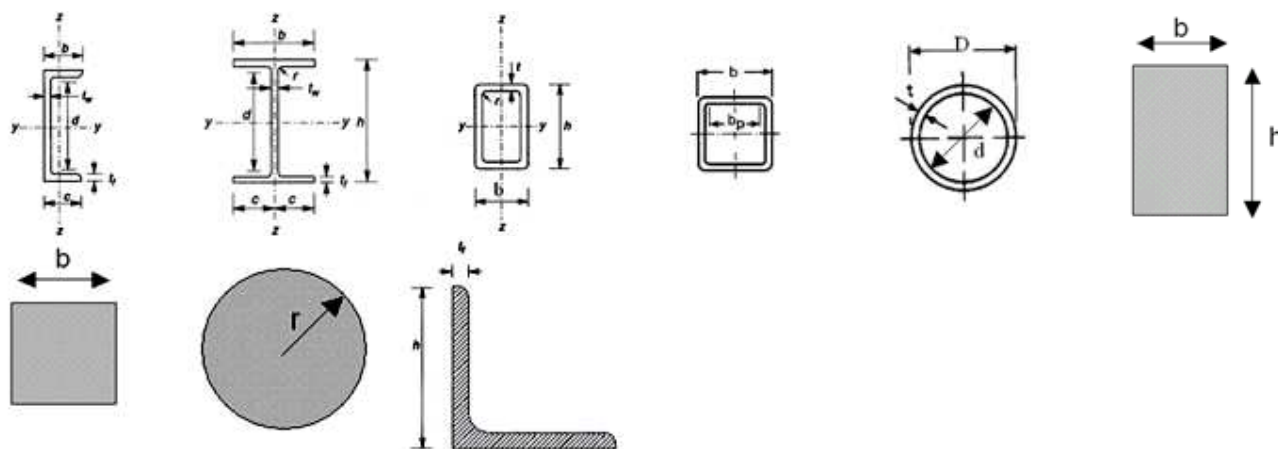
Popis průřezu**Konvence:**

Použité konvence popisu průřezu:

- y: slabá osa
- z: silná osa
- h: výška průřezu
- b: šířka průřezu
- tw: tloušťka stojiny
- tf: tloušťka příruby
- r: poloměr zaoblení
- d: středová výška
- I_y, I_z: moment setrvačnosti kolem y a z

- I_y : složený moment setrvačnosti
- I_t : moment tuhosti v prostém kroucení
- I_w : deformující moment setrvačnosti
- W_{elyhor} , W_{elydol} : modul pružného ohybu v horním / dolním vlákně na y .

- W_{elzhor} , W_{elzdol} : modul pružného ohybu v horním / dolním vlákně na z .
- W_{ply} , W_{plz} : plastické průřezové moduly
- W_t : průřezový modul v kroucení
- S_y , S_z : statický moment k y a z



| Rozměry průřezu | | | | | | |
|-----------------|------------|----------------------|---------------------|---------------|------------|--------|
| Označení | Výška (mm) | vnitřní poloměr (mm) | vnější poloměr (mm) | Tloušťka (mm) | Šířka (mm) | schéma |
| SHS80x4C | 80.00 | 4.00 | 8.00 | 4.00 | 80.00 | --- |
| SHS60x3C | 60.00 | 3.00 | 6.00 | 3.00 | 60.00 | --- |

| Charakteristiky průřezu | | | | | | |
|-------------------------|----------------------|---|--------------------------|--|---|--------------------------|
| Označení | A (cm ²) | I_y I_z I_{yz} I_t (cm ⁴) | I_w (cm ⁶) | W_{elyinf} W_{elysup} W_{elzinf} W_{elzsup} (cm ³) | W_{ply} W_{plz} W_t (cm ³) | S_y (cm ²) |
| SHS80x4C | 11.70 | 111.00 111.00 0.00 180.00 | 0.00 | 27.80 27.80 27.80 27.80 | 33.10 33.10 41.74 | 5.76 5.76 |
| SHS60x3C | 6.61 | 35.10 35.10 0.00 57.10 | 0.00 | 11.70 11.70 11.70 11.70 | 14.00 14.00 17.65 | 3.24 3.24 |

Popis zatěžovacích stavů a ??rodin

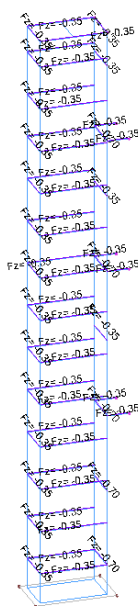
| Seznam rodin zatěžovacích stavů | | |
|---------------------------------|-----------------|---------------------------|
| Č. | Označení | Seznam zatěžovacích stavů |
| 1 | Stálé zatížení | 1 |
| 2 | Užitné zatížení | 2 |

| Zatěžovací stavy a výslednice | | | | | | | |
|--|-----------------|------------|------------|------------|--------------|--------------|--------------|
| Výslednice zatížení (globální souřadnicový systém) | | | | | | | |
| Č. | Zatěžovací stav | F_x (kN) | F_y (kN) | F_z (kN) | M_x (kN*m) | M_y (kN*m) | M_z (kN*m) |
| 1 | G | 0.00 | 0.00 | -66.59 | -48.74 | -30.07 | 0.00 |
| 2 | Q | 0.00 | 7.00 | -105.00 | -62.11 | -74.92 | 4.99 |

| Popis zatěžovacích stavů a kombinací | | |
|--------------------------------------|------------|--------|
| Stav č. | Název | &Popis |
| 1 | G | |
| 2 | Q | |
| 101 | 1x[1 G] | |
| 102 | 1.35x[1 G] | |

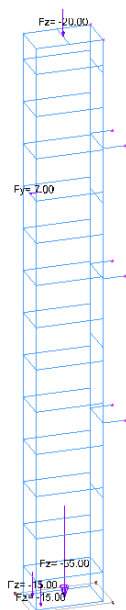
| Popis zatěžovacích stavů a kombinací | | |
|--------------------------------------|----------------------|--------|
| Stav č. | Název | &Popis |
| 103 | 1x[1 G]+1.5x[2 Q] | |
| 104 | 1.35x[1 G]+1.5x[2 Q] | |
| 105 | 1x[1 G] | |
| 106 | 1x[1 G]+1x[2 Q] | |
| 107 | 1x[1 G] | |
| 108 | 1x[1 G]+0.5x[2 Q] | |
| 109 | 1x[1 G] | |
| 110 | 1x[1 G]+0.3x[2 Q] | |

Porled UŽIVATEL
1,26 m 0,24 m 13,40 m



3 Zatěžovací stav 1 - stálé

Ported UŽIVATEL
1,26 m 0,24 m 13,40 m



4 Zatěžovací stav 2 - nahodilé

Popis kombinací

| Popis kombinací | | | |
|-----------------|----------------------|-----------------|----------|
| Č. | Název | Detaily | Kód |
| 101 | 1x[1 G] | 1.00*1 | ECELUSTR |
| 102 | 1.35x[1 G] | 1.35*1 | ECELUSTR |
| 103 | 1x[1 G]+1.5x[2 Q] | 1.00*1 + 1.50*2 | ECELUSTR |
| 104 | 1.35x[1 G]+1.5x[2 Q] | 1.35*1 + 1.50*2 | ECELUSTR |
| 105 | 1x[1 G] | 1.00*1 | ECELSCQ |
| 106 | 1x[1 G]+1x[2 Q] | 1.00*1 + 1.00*2 | ECELSCQ |
| 107 | 1x[1 G] | 1.00*1 | ECELSFQ |
| 108 | 1x[1 G]+0.5x[2 Q] | 1.00*1 + 0.50*2 | ECELSFQ |
| 109 | 1x[1 G] | 1.00*1 | ECELSQP |
| 110 | 1x[1 G]+0.3x[2 Q] | 1.00*1 + 0.30*2 | ECELSQP |

Výpočet - Ocel**Data****Předpoklady posouzení ocelových prvků**

Předpoklady posouzení ocelových prvků:

- Dimenzování provedeno podle EC3 ().
- Výpočet byl proveden podle šikmý ohyb.
- Optimalizace profilů byla provedena s cílem zajistit stupeň využití prvků menší než 100%.
- Maximální počet iterací pro každý krok optimalizace je 8.
- Výpočet byl proveden podle prvky.
- Třídění listů tvarů probíhá podle kritéria obálka.
- Vzpěrné délky byly stanoveny metodou η_1 - η_2 .

| Zatěžovací stav | | | | |
|-------------------|--------------|------------------------|-------------------------|--------------------------|
| Typ posouzení | Kód | Koef. posouz. pevnosti | Koef. posouz. stability | Seznam stavů / kombinací |
| Posouzení průhybů | ECELSCQ | - | 1.000 | 105-106 |
| Posouzení průhybů | ECELSFQ | - | 1.000 | 107-108 |
| Posouzení průhybů | ECELSQP | - | 1.000 | 109-110 |
| Posouzení tvarů | ECELUST R | 1.000 | 1.000 | 101-104 |

Výsledky

| Průřez: SHS80x4C | |
|-------------------------------|--|
| 1) Průřez | |
| Tvar | SHS80x4C |
| Rozměry(mm) | h = 80.00 w = 80.00 Tloušťka = 4.00 r = 8.00 r1 = 4.00 |
| Průřezy(cm2) | Plocha = 11.70 Avy = 5.85 Avz = 5.85 |
| Momenty setrvačnosti(cm4) | It = 180 Iy = 111 Iz = 111 |
| Momenty setrvačnosti(cm6) | Iw = 0 |
| Moduly(cm3) | Wply = 33.1 Wplz = 33.1 |
| Materiál | S235 E = 210000 MPa Nu = 0.3 G = 80800 MPa |
| Třída | fy = 235.00 MPa fu = 360.00 MPa |
| 2) Klasifikace průřezu | |
| Třída | Dolní pásnice : Třída 1 Pravá stojina : Třída 1 Levá stojina : Třída 1 Horní pásnice : Třída 1 |

| Průřez: SHS80x4C | |
|---------------------------------------|--|
| | Průřez : Třída 1 |
| 3) Průhyb | |
| 1. kritérium | Stav č. 106 : 1x[1 G]+1x[2 Q] L/651 < L/500 (77 %) |
| 4) Pevnost průřezů | |
| Tah Tlak (6.2.4) | Stav č. 104 : 1.35x[1 G]+1.5x[2 Q], Uzel č. 70.4 $F_x < N_{pl} : 0.01 < 274.95 \text{ kN} (0 \%)$ |
| Smyk ve směru y (6.2.6) | Stav č. -, Uzel č. -, $F_y < V_{ply} : \text{neprovedeno } (-)$ |
| Smyk ve směru z (6.2.6) | Stav č. 104 : 1.35x[1 G]+1.5x[2 Q], Uzel č. 70.4 $F_z < V_{plz} : 15.02 < 79.37 \text{ kN} (19 \%)$ |
| Ohnutí /yy (6.2.5) | Stav č. 104 : 1.35x[1 G]+1.5x[2 Q], Uzel č. 70.4 $M_{yEd} < M_{yRk} : 6.66 < 7.78 \text{ kN}\cdot\text{m} (86 \%)$ |
| Ohnutí /zz (6.2.5) | Stav č. 104 : 1.35x[1 G]+1.5x[2 Q], Uzel č. 70.4 $M_{zEd} < M_{zRk} : 0.0006 < 7.78 \text{ kN}\cdot\text{m} (0 \%)$ |
| Šikmý ohyb (6.2.9.1) | Stav č. 104 : 1.35x[1 G]+1.5x[2 Q], Uzel č. 70.4 $\frac{M_{Ed}}{M_{c,Rd}} < 1 (6.12) : 0.85592 < 1 (86 \%)$ |
| Kroucení (6.2.7) | Stav č. -, Uzel č. -, $\frac{F_y}{\sqrt{3}}$ $M_x < W_t \cdot \frac{\sqrt{3}}{\gamma_{M0}} : \text{neprovedeno } (-)$ |
| 5) Stabilita prvku | |
| Nepříznivý stav | Stav č. 104 : 1.35x[1 G]+1.5x[2 Q], Uzel č. 70.4 0/4 |
| Vzpěr /yy (6.3.1) | L _{fz} = 1.60 m λ _y = 0.554 Křivka c α _y = 0.49 Φ _y = 0.74 χ _y = 0.813 N _{cry} = 897.25 kN |
| Vzpěr /zz (6.3.1) | L _{fy} = 1.43 m λ _z = 0.496 Křivka c α _z = 0.49 Φ _z = 0.70 χ _z = 0.845 N _{cruz} = 1119.59 kN |
| Klopení (6.3.2.1) | L _{di} = 1.10 m L _{ds} = 1.10 m C ₁ = 1.690 C ₂ = 1.500 z _g = 0.00 m k _z = 1.000 k _w = 1.000 M _c r = 888.53 kN·m λ _{LT} = 0.094 Křivka - α _{LT} = 1.00 Φ _{LT} = 1.00 χ _{LT} = 1.000 |
| Pomocné vztahy (Tabulka B3) | C _{my} = 0.80 C _{mz} = 0.90 C _{mLT} = 0.80 |
| Interakční součinitele (Příloha B) | k _{yy} = 0.80 k _{yz} = 0.54 k _{zy} = 1.00 k _{zz} = 0.90 |
| Posouzení (6.61) | $\frac{N_{Ed}}{\chi_y \cdot \frac{N_{Rk}}{\gamma_{M1}}} + k_{yy} \cdot \frac{M_{y,Ed} + \Delta M_{y,Ed}}{\chi_{LT} \cdot \frac{M_{y,Rk}}{\gamma_{M1}}} + k_{yz} \cdot \frac{M_{z,Ed} + \Delta M_{z,Ed}}{\frac{M_{z,Rk}}{\gamma_{M1}}} \leq 1.00$ 0.00 + 0.68 + 0.00 = 0.68 < 1.00 (68%) |
| Posouzení (6.62) | $\frac{N_{Ed}}{\chi_z \cdot \frac{N_{Rk}}{\gamma_{M1}}} + k_{zy} \cdot \frac{M_{y,Ed} + \Delta M_{y,Ed}}{\chi_{LT} \cdot \frac{M_{y,Rk}}{\gamma_{M1}}} + k_{zz} \cdot \frac{M_{z,Ed} + \Delta M_{z,Ed}}{\frac{M_{z,Rk}}{\gamma_{M1}}} \leq 1.00$ 0.00 + 0.86 + 0.00 = 0.86 < 1.00 (86%) |

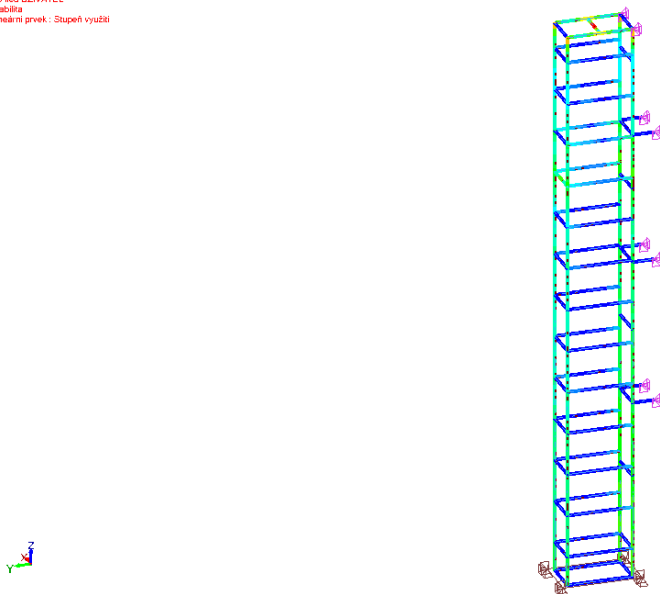
Průřez: SHS60x3C

| Průřez: SHS60x3C | |
|--|--|
| 1) Průřez | |
| Tvar | SHS60x3C |
| Rozměry(mm) | $h = 60.00$ $w = 60.00$ Tloušťka = 3.00 $r = 6.00$ $r_1 = 3.00$ |
| Průřezy(cm ²) | Plocha = 6.61 $A_{vy} = 3.30$ $A_{vz} = 3.30$ |
| Momenty setrvačnosti(cm ⁴) | $I_t = 57.1$ $I_y = 35.1$ $I_z = 35.1$ |
| Momenty setrvačnosti(cm ⁶) | $I_w = 0$ |
| Moduly(cm ³) | $W_{ply} = 14$ $W_{plz} = 14$ |
| Materiál | S235 $E = 210000$ MPa $N_u = 0.3$ $G = 80800$ MPa |
| Třída | $f_y = 235.00$ MPa $f_u = 360.00$ MPa |
| 2) Klasifikace průřezu | |
| Třída | Dolní pásnice : Třída 1 Pravá stojina : Třída 1 Levá stojina : Třída 1 Horní pásnice : Třída 1 Průřez : Třída 1 |
| 3) Průhyb | |
| 1. kritérium | Stav č. 106 : $1x[1\ G]+1x[2\ Q]$ $L/879 < L/500$ (57 %) |
| 4) Pevnost průřezů | |
| Tah Tlak (6.2.3) | Stav č. 104 : $1.35x[1\ G]+1.5x[2\ Q]$, Uzel č. 50.4 $F_x < N_{pl} : 0.30 < 155.34$ kN (0 %) |
| Smyk ve směru y (6.2.6) | Stav č. 104 : $1.35x[1\ G]+1.5x[2\ Q]$, Uzel č. 50.4 $F_y < V_{ply} : 5.25 < 44.84$ kN (12 %) |
| Smyk ve směru z (6.2.6) | Stav č. 104 : $1.35x[1\ G]+1.5x[2\ Q]$, Uzel č. 50.4 $F_z < V_{plz} : 0.10 < 44.84$ kN (0 %) |
| Ohnutí /yy (6.2.5) | Stav č. 104 : $1.35x[1\ G]+1.5x[2\ Q]$, Uzel č. 50.4 $M_{yEd} < M_{yRk} : 0.03 < 3.29$ kN*m (1 %) |
| Ohnutí /zz (6.2.5) | Stav č. 104 : $1.35x[1\ G]+1.5x[2\ Q]$, Uzel č. 50.4 $M_{zEd} < M_{zRk} : 1.88 < 3.29$ kN*m (57 %) |
| Šikmý ohyb (6.2.9.1) | Stav č. 104 : $1.35x[1\ G]+1.5x[2\ Q]$, Uzel č. 50.4 $\frac{M_{Ed}}{M_{c,Rd}} < 1$ (6.12) : $0.57060 < 1$ (57 %) |
| Kroucení (6.2.7) | Stav č. -, Uzel č. -, $M_x < W_t \cdot \frac{F_y}{\gamma_{M0}}$: neprovedeno (-) |
| 5) Stabilita prvku | |
| Nepříznivý stav | Stav č. 104 : $1.35x[1\ G]+1.5x[2\ Q]$, Uzel č. 50.4 0/4 |
| Vzpěr /yy (6.3.1) | $L_{fz} = 1.21$ m $\lambda_y = 0.557$ Křivka c $\alpha_y = 0.49$ $\Phi_y = 0.74$ $\chi_y = 1.000$ $N_{cry} = 499.96$ kN |
| Vzpěr /zz (6.3.1) | $L_{fy} = 1.28$ m $\lambda_z = 0.590$ Křivka c $\alpha_z = 0.49$ $\Phi_z = 0.77$ $\chi_z = 1.000$ $N_{crz} = 446.83$ kN |
| Klopení (6.3.2.1) | $L_{di} = 1.10$ m $L_{ds} = 1.10$ m $C_1 = 2.570$ $C_2 = 1.550$ $z_g = 0.00$ m $k_z = 1.000$ $k_w = 1.000$ $M_{cr} = 427.95$ kN*m $\lambda_{LT} = 0.088$ Křivka - $\alpha_{LT} = 1.00$ $\Phi_{LT} = 1.00$ $\chi_{LT} = 1.000$ |
| Pomocné vztahy (Tabulka B3) | $C_{my} = 0.58$ $C_{mz} = 0.80$ $C_{mLT} = 0.58$ |

| Průřez: SHS60x3C | |
|---------------------------------------|--|
| Interakční součinitele (Příloha B) | $k_{yy} = 0.58 \quad k_{yz} = 0.48 \quad k_{zy} = 1.00 \quad k_{zz} = 0.80$ |
| Posouzení (6.61) | $\frac{N_{Ed}}{\chi_y \cdot \frac{N_{Rk}}{\gamma_{M1}}} + k_{yy} \cdot \frac{M_{y,Ed} + \Delta M_{y,Ed}}{\chi_{LT} \cdot \frac{M_{y,Rk}}{\gamma_{M1}}} + k_{yz} \cdot \frac{M_{z,Ed} + \Delta M_{z,Ed}}{\frac{M_{z,Rk}}{\gamma_{M1}}} \leq 1.00$ $0.00 + 0.01 + 0.27 = 0.28 < 1.00 \quad (28\%)$ |
| Posouzení (6.62) | $\frac{N_{Ed}}{\chi_z \cdot \frac{N_{Rk}}{\gamma_{M1}}} + k_{zy} \cdot \frac{M_{y,Ed} + \Delta M_{y,Ed}}{\chi_{LT} \cdot \frac{M_{y,Rk}}{\gamma_{M1}}} + k_{zz} \cdot \frac{M_{z,Ed} + \Delta M_{z,Ed}}{\frac{M_{z,Rk}}{\gamma_{M1}}} \leq 1.00$ $0.00 + 0.01 + 0.46 = 0.47 < 1.00 \quad (47\%)$ |

| Maximální stupeň využití: Podle průřezu | | | | | | | | | |
|---|------|------|--------------|--------------|------|----------------------|-----------------------|-----------------------|--------------------|
| Průřez | Id | Stav | Ověřeno | Xy Xz | XLT | Stupeň využití N (%) | Stupeň využití My (%) | Stupeň využití Mz (%) | Stupeň využití (%) |
| SHS80x4C | 70.4 | 104 | 6.61 6.62 | 0.81 0.85 | 1.00 | 0 0 | 68 86 | 0 0 | 68 86 |
| SHS60x3C | 50.4 | 104 | 6.61 6.62 | 1.00 1.00 | 1.00 | 0 0 | 1 1 | 27 46 | 28 47 |

Pořídil: LÚŽ/ATEL
Stabilita
Lineární prvek: Stupeň využití

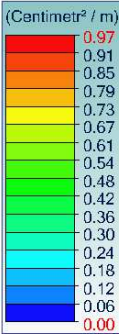
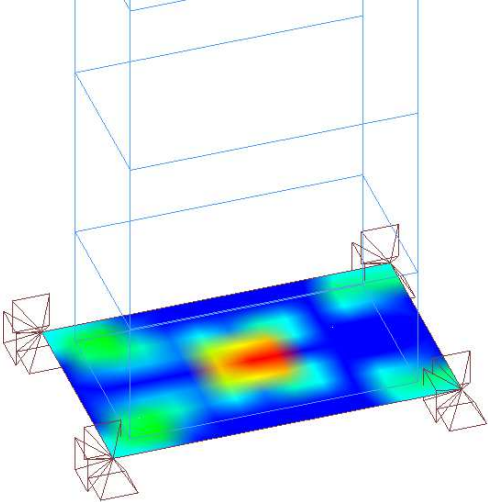


1 Stabilita Stupeň využití

| Maximální průhyb: Podle průřezu | | | | | | | |
|---------------------------------|------|-------------|----------------|-------------|-------------|-----------|------|
| Průřez | Id | Délka L (m) | Průhyb (ratio) | Průhyb (mm) | Odchylka(%) | Kritérium | Stav |
| SHS80x4C | 68.1 | 0.00 | L/650 | 0.96 | 77% | 1st | 106 |
| SHS60x3C | 50.1 | 1.10 | L/879 | 1.25 | 57% | 1st | 106 |

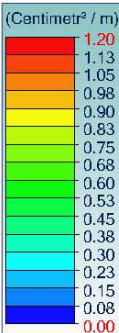
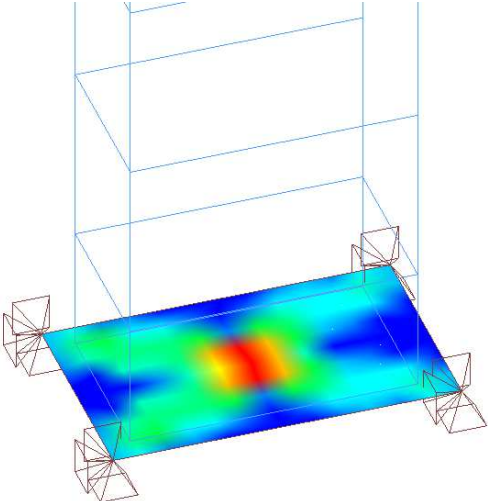
ŽELEZOBETON PLOCHY VÝZTUŽE

Pořadí LÚŽI/ATEL
Výztuž
Obálka
Plošný prvek : Axdol (izoregiony)



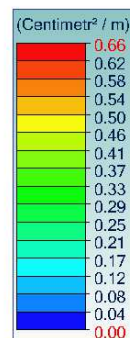
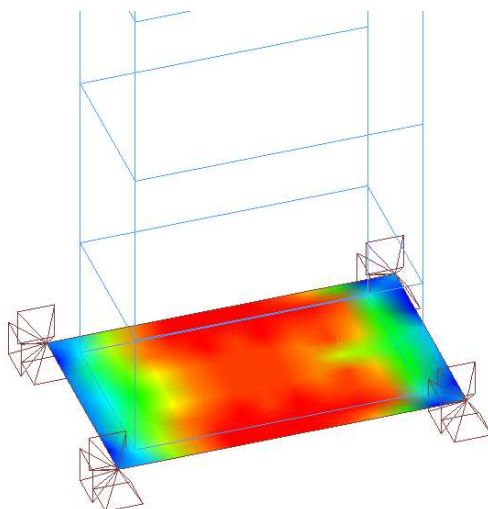
5 Výztuž - Axdol

Pořadí LÚŽI/ATEL
Výztuž
Obálka
Plošný prvek : Aydol (izoregiony)



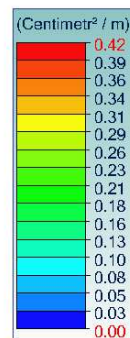
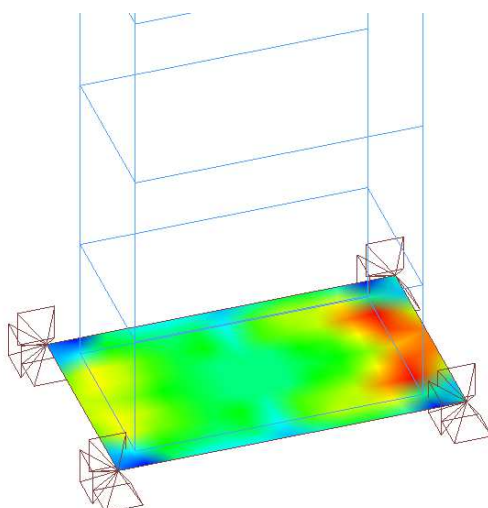
6 Výztuž - Aydol

Pořad. číslo: 10/2018
 Výztaž:
 Obal: 10/2018
 Plošný prvek: Axhor (3zregiony)



7 Výztuž - Axhor

Pořad. číslo: 10/2018
 Výztaž:
 Obal: 10/2018
 Plošný prvek: Ayhor (3zregiony)

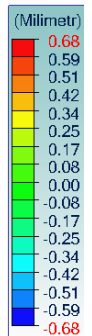
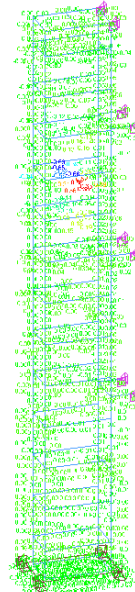


8 Výztuž - Ayhor

Jako výztuž bude použita síť KARI 8/150mm při dolním a horním povrchu
 Plocha výztuž 3,35cm²/m VÝZTUŽ VYHOVUJE

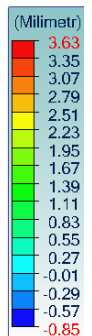
DEFORMACE

Pořad UŽIVATEL
Výpočet: 106 (1x1 C) + 1x2 C)
Užít: DX
Lokální osy



2 Posuny v ose x 106

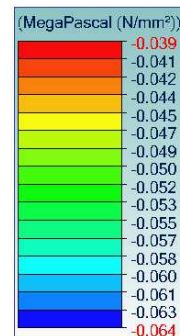
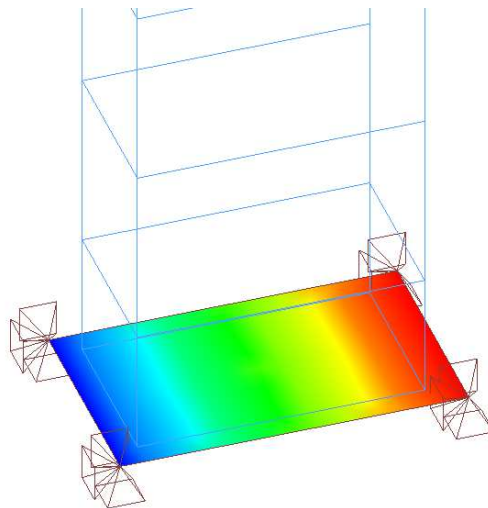
Pořad UŽIVATEL
Výpočet: 106 (1x1 C) + 1x2 C)
Užít: DY
Lokální osy



3 Posuny v ose y 106
Deformace < 5mm VYHOVUJE

Text KONTAKTNÍ NAPĚTÍ

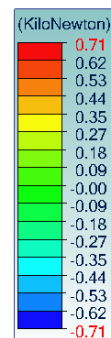
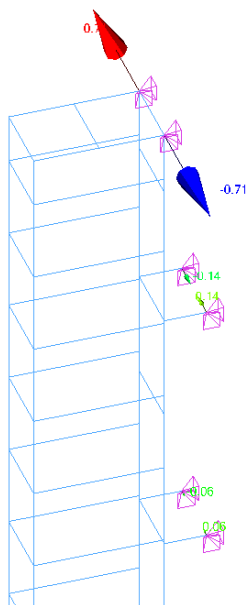
Po vled UŽIVATEL
Výpočet: 106 (1x1 G)H1x(2 G)
Plošná podpora: S2
Lokální osy



4 Kontaktní napětí - - 106
Kontaktní napětí < 100kPa VYHOVUJE

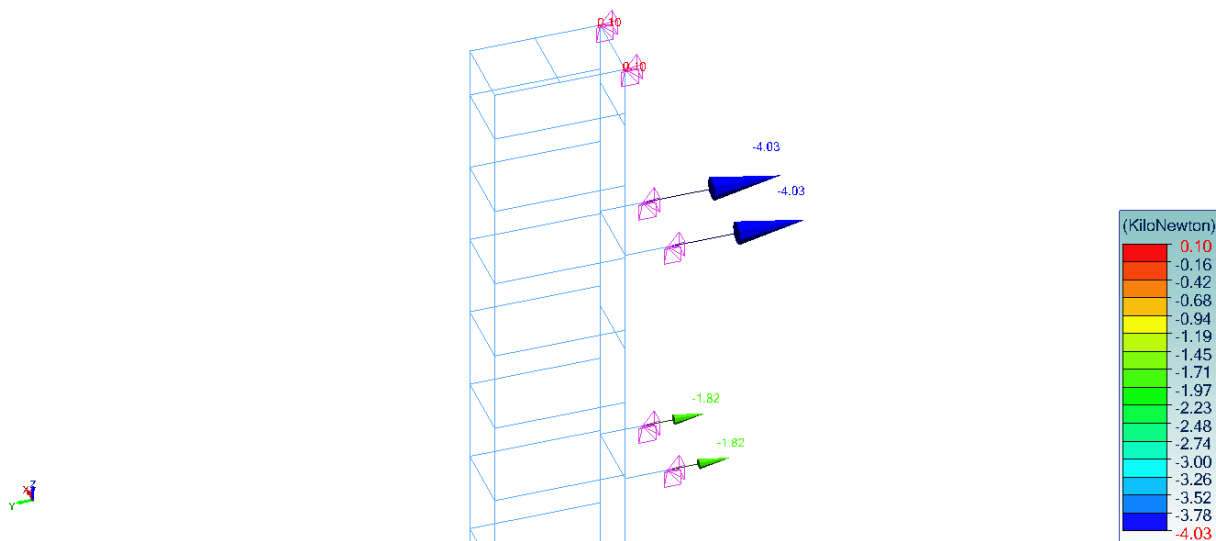
REAKCE

Po vled UŽIVATEL
Výpočet: 104 (1.35x1.35)H1.5x(2 G)
Bodová podpora: FX
Lokální osy



9 Síly - - 104

Po vled UŽIVATEL
Výpočet: 104 : 1.35x(1.3)+1.5x(2.3)
Bodová podpora : FY
Lokální osy



10 Síly - - 104

Kotvení navrhnout na sílu 5,85kN